Synthese und NMR-Spektroskopie von 2,5-diborylierten 3-Plumbolenen und 3-Stannolenen

Synthesis and NMR Spectroscopy of 2,5-Diborylated 3-Plumbolenes and 3-Stannolenes

Bernd Wrackmeyer* und Klaus Horchler

Laboratorium für Anorganische Chemie der Universität Bayreuth, Postfach 101251, D-8580 Bayreuth

Z. Naturforsch. 45b, 437-446 (1990); eingegangen am 8. November/4. Dezember 1989

Organoboration, 3-Plumbolenes, Dynamic NMR Spectra, 2D NMR Spectra, ¹¹⁹Sn. ²⁰⁷Pb NMR Spectra

The organoboration of bis(alkynyl)plumbanes (1) leads to intermediates 7 in which a triorganolead cation is stabilized by intramolecular side-on coordination to the $C \equiv C$ triple bond of an alkynylborate function. These compounds decompose rapidly at room temperature or rearrange to give 1,4-plumbabora-2,5-cyclohexadienes (10). If the compounds 7 are treated with an excess of trialkylborane (2) they are converted into bis(alkenyl)lead derivatives (8) as the final products (8c, 8ca) or again as intermediates for the 2,5-bis(dialkylboryl)-3-plumbolenes 9. A mechanism suggested for the formation of 9 is based on the product distribution (9 ab/9 ba = 2:1) obtained from the reaction of a distinct compound 7a with different trialkylboranes (2a, 2b). All compounds have been fully characterized by multinuclear magnetic resonance data (1 H, 11 B, 13 C, 207 Pb), dynamic NMR and two-dimensional (2 D) NMR techniques. In addition, these techniques have been applied to some of the analogous tin compounds (e.g. 4b, 5).

Die Carbometallierung [1] von Alkinen und Alkenen ist ein nützliches Verfahren für den selektiven Aufbau von Kohlenstoff-Kohlenstoff-Bindungen. In diesem Arbeitsgebiet hat die Organoborierung von Metall-Alkinen [2] neue Möglichkeiten eröffnet. Die Produkte der Organoborierung von Alkinylstannanen [2] und Alkinylsilanen [3, 4] entsprechen einander weitgehend, obwohl für die Organoborierung der Alkinylsilane wesentlich

drastischere Reaktionsbedingungen erforderlich sind. Eine Ausnahme hinsichtlich der Produktverteilung bildet das Dimethyl-di-1-propinylsilan (1Si), das mit Triethylboran (2a) das Silacyclopentadien 3 liefert [4], während aus Dimethyl-di-1-propinylstannan (1Sn) und 2a in Abhängigkeit von der Stöchiometrie (1:1 oder 1:2) entweder das 1,4-Stannabora-2,5-cyclohexadien 4a oder das 2,5-diborylierte 3-Stannolen 5 entstehen [5, 6].

Verlag der Zeitschrift für Naturforschung, D-7400 Tübingen 0932–0776/90/0400–0437/\$ 01.00/0

Insbesondere die quantitative, stereoselektive Bildung von 5 verlangte nach mechanistischen Erklärungen. Im Verlauf der Untersuchungen wurden die Dialkenylstannane vom Typ 6 als Vorstufe zu 5 nachgewiesen [6].

Die im Vergleich zur (Sn-C≡)-Bindung nochmals erhöhte Reaktivität der (Pb-C≡)-Bindung

 ^{*} Sonderdruckanforderungen an Prof. Dr. Bernd Wrackmeyer.

vermindert die zum Start der Organoborierung erforderliche Aktivierungsenergie. Dies führte kürzlich zur Charakterisierung von Zwischenstufen 7 (vgl. Schema 1), die bei der Umsetzung von Dimethyl-di-1-propinylplumban (1Pb) mit verschiedenen Trialkylboranen auftreten [7]. In 7 liegen gleichzeitig ein Alkinylborat-Anion und ein Triorganylblei-Kation vor, wobei sich das kationische Zentrum durch die side-on-Koordination an die C≡C-Dreifachbindung stabilisiert. Somit kann 7 als Modell für die bekannten [8, 9] Reaktionen von Alkinylboraten mit Elektrophilen betrachtet werden. Mit dem Abfangen der Zwischenstufen des Typs 7 sind darum gute Voraussetzungen gegeben, ihre gezielte Umsetzung mit weiterem Trialkylboran zu verfolgen und damit neue mechanistische Informationen über die Umlagerung in die zu 5 analogen 3-Plumbolene zu erhalten. Ferner berichten wir in dieser Arbeit über die Anwendung verschiedener zweidimensionaler (2D)-NMR-Experimente an Verbindungen des Typs 5 und über die Beweglichkeit der exocyclischen Dialkylboryl-Gruppen in 5.

Ergebnisse und Diskussion

Synthesen

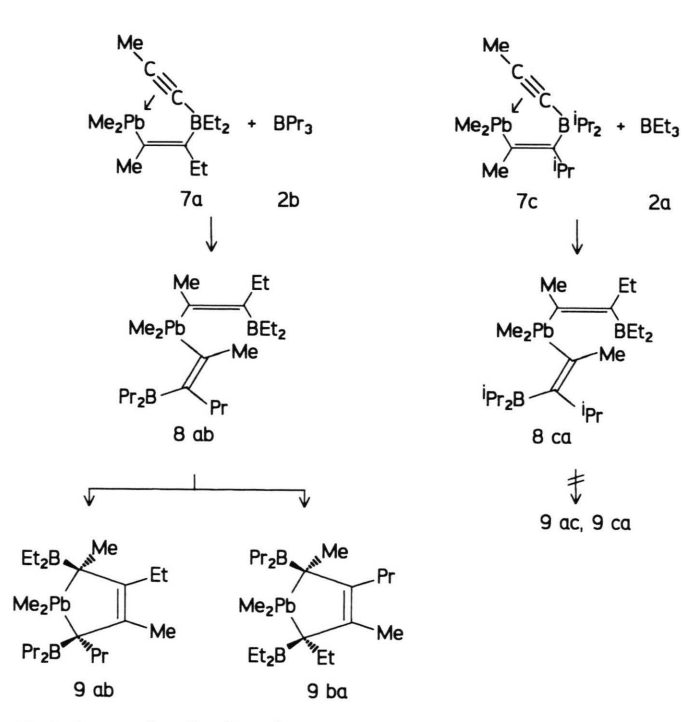
Bei der Umsetzung von **1 Pb** mit Trialkylboranen (**2**) nach Schema 1 wird in allen Fällen zuerst **7** gebildet. Mit weiterem Trialkylboran (z. B. **2a**, **2b**) reagiert **7** dann oberhalb von -10 °C rasch (in Minuten) zu dem Dialkenylplumban **8.** Von den Ver-

bindungen 8 kann 8c isoliert werden, 8e läßt sich nur in der Reaktionslösung anhand des 207Pb-NMR-Spektrums nachweisen (vgl. Abb. 1), und 8a, b lagern sich so rasch in 9 um, daß auf ihre intermediäre Existenz nur aufgrund der Endprodukte 9a, 9b (analog zu 9e oder 5) geschlossen wird. Ist kein überschüssiges 2a, 2b zugegen, so zersetzen sich 7a, b, e, f rasch oberhalb von +15 °C u.a. in Blei, Tetramethylblei, verschiedene Organoborane (z. B. R₃B, R₂BMe, RBMe₂) und in ein Alkin $R-C=C-R^{T}$. Die Verbindungen 7c, d sind bei Raumtemperatur stabil. So zersetzt sich 7c nur teilweise bei ca. 40 °C und lagert sich bei dieser Temperatur in das 1-Plumba-4-bora-2,5-cyclohexadien (10) um, welches genau der bekannten Zinn-Verbindung 4b entspricht. Ebenso wie die anderen Verbindungen 7 setzt sich 7c mit überschüssigem Triisopropylboran (2c) zu 8c um. Die Umlagerung von 8c in 9c wird jedoch nicht beobachtet. Bei längerem Belassen auf Raumtemperatur oder geringer Erwärmung (ca. 40-50°C) zersetzt sich 8c.

Da die Verbindungen 7 in reiner Form zugänglich sind, kann die Reaktion von 7 mit verschiedenen Trialkylboranen durchgeführt werden (Schema 2). So sollte sich z. B. 7a mit 2b (zu 8ab) oder 7c mit 2a (zu 8ca) umsetzen. Über die Tendenz der möglichen Bildung von 9ab oder 9ba bzw. 9ac oder 9ca aus diesen Vorstufen (nachgewiesen über NMR-spektroskopische Strukturermittlung) wird eine Stützung der mechanistischen Vorstellungen erwartet.

Mechanismus der Bildung der 2,5-diborylierten 3-Plumbolene

Stehen eine Triorganoplumbyl- und eine Dialkylborylgruppe in *cis*-Stellung an einer C=C-Doppelbindung, so können ein oder sogar zwei Organo-Reste R^2 (R^2 = Alkyl, Phenyl) vom Blei gegen die Alkylgruppen (R = Et, Pr) am Bor ausgetauscht werden [10]. Diese Austauschreaktion wird für $R = {}^{i}Pr$ sehr verlangsamt oder vollständig unterdrückt. Entsprechend der Stabilisierung der Zwischenstufe mit einer Struktur analog zu 7 findet man, daß bei Ethyl-Gruppen am Bor eine Pb-Phenyl-Gruppe schneller ausgetauscht wird als eine Pb-Me-Gruppe. Somit darf auch für die Verbindungen 8 angenommen werden, daß die Austauschtendenz für die Pb-Alkenyl-Gruppe größer ist als für die PbMe-Gruppe. Nach Schema 3 ist bei der Übertragung eines Pb-Alkenyl-Restes zum trigonal planar umgebenen Boratom in 8 an eine Zwischenstufe 11 zu denken (vgl. die Struktur von 7), die sich letztlich durch Angriff des elektrophilen Blei-Fragments an dem zweiten Alken-Kohlenstoff stabilisiert, wobei über 12 die Bindung der beiden Boryl-Gruppen auf der gleichen Seite des Fünfrings (13) festgelegt wird. Dieser Schritt und die abschließende 1,3-Verschiebung einer der Borylgruppen in 13 führt zu den Produkten 9. Bei dem permethylierten Zinn-Derivat analog zu 5 belegen die ¹H- und ¹³C-NMR-Signale für die unterschiedlichen SnMe-Gruppen, daß sich die Borylgruppen in cis-Stellung befinden [5]. Der hier entwickelte Mechanismus entspricht damit sehr genau dem Vorschlag für die Entstehung der entsprechenden Zinn-Verbindungen 5 [6], jedoch ist im Fall der Alkenylplumbane der angesprochene Austausch der Liganden zwischen Bor- und Bleiatom experimentell eindeutig nachgewiesen (im Gegensatz zu den Alkenylstannanen, wo derartige Austauschreaktionen meist andere Bedingungen erfordern). Zudem dient die Struktur von 7c [7] (für analoge Zinnverbindungen gibt es bisher nur NMR-spektroskopische Hinweise) als nützliches Modell für die Zwischenstufe bei solchen Austauschreaktionen. Da sich weder 8c noch 8ca in 9c bzw. 9ca umlagern, wird die Abhängigkeit von sterischen Verhältnissen offenkundig. In 8ca könnte die Et₂B-Gruppe als Akzeptor für den an-



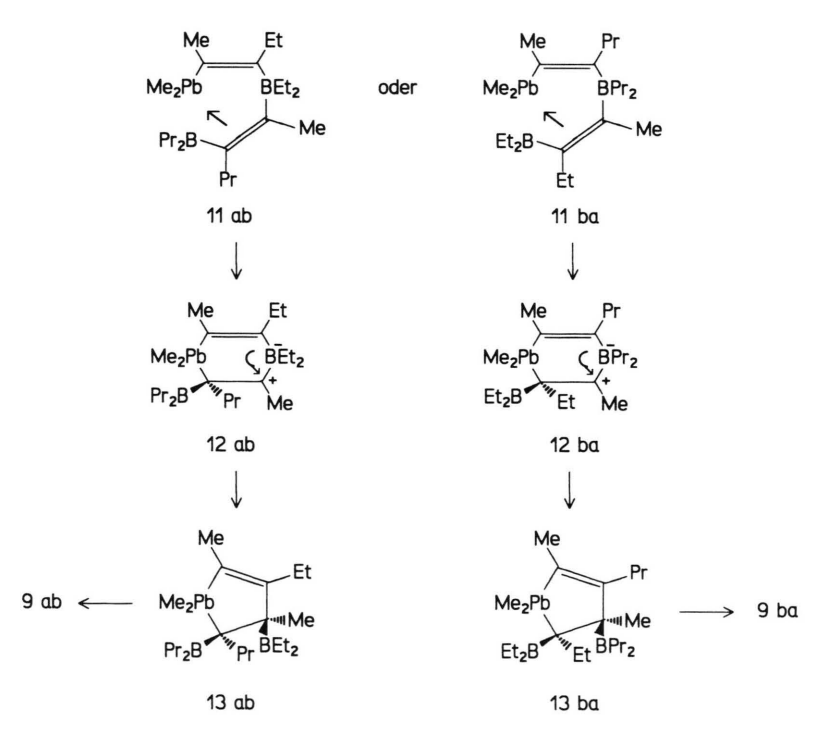
Schema 2. Reaktionen der Zwischenstufen 7 mit weiterem Trialkylboran.

deren Alkenylrest fungieren, um zu 11 zu gelangen. Der elektrophile Angriff an dem olefinischen Kohlenstoffatom in 11, das bereits eine Pr- und die Pr₂B-Gruppe trägt, wird jedoch sterisch sehr behindert sein. Sogar der geringe Unterschied zwischen Ethyl- und Propylgruppen wird deutlich (vgl. Schema 3), da sich aus 8ab der Heterocyclus 9ab (und damit zunächst 11ab) bevorzugt gegenüber 9ba (bzw. 11ba) bildet (Verhältnis *ca.* 2:1). Die Diethylborylgruppe in 8ab ist demnach für die Übertragung des Alkenylrestes ein etwas besserer Akzeptor als die Dipropylborylgruppe.

NMR-Spektroskopie

In Tab. I sind die ¹¹B-, ¹³C- und ²⁰⁷Pb-NMR-Daten für **7** angegeben, in Tab. II die Daten für **8** und **10**, und Tab. III enthält die Daten für **9**. Die breiten ¹¹B-Resonanzen ($h_{1/2} \ge 500 \text{ Hz}$) für **8** [δ (¹¹B) ca. 80-86], **9** [δ (¹¹B) ca. 70] und **10** [δ (¹¹B) 76,5] sind zwar hinreichend verschieden, können jedoch für Gemische, insbesondere in Gegenwart von BR₃ [relativ scharfes und folglich dominierendes ¹¹B-NMR-Signal bei δ (¹¹B) ca. 86], analytisch nicht vorteilhaft genutzt werden. Lediglich die Borat-

struktur in 7 wird durch das 11B-NMR-Signal $[\delta(^{11}B) \ ca. -2 \ bis -10]$ bei niedrigen Frequenzen im typischen Bereich [11] eindeutig angezeigt. Die $\delta(^{11}B)$ -Werte für **4b** (+72) und **10** (+76) weisen darauf hin, daß $BC(pp)\pi$ -Wechselwirkungen in diesen Heterocyclen erheblich reduziert sind, vergleicht man z. B. mit den $\delta(^{11}B)$ -Werten $[\delta(^{11}B) ca.$ +60] für andere 1-Stanna-4-bora-2,5-cyclohexadiene [12]. Als Erklärung hierfür schlagen wir vor, daß in 4b und 10 eine Halbsessel-Konformation vorliegt, in der die B'Pr-Gruppe über der C=C-M-C=C-Ebene steht. Im Fall der 1-Stanna-4bora-2,5-cyclohexadiene mit sterisch weniger anspruchsvollen Resten in 3,5-Stellung war die Inversionsbarriere zu klein (auch wenn eine 'Bu-Gruppe am Bor-Atom gebunden war) für die NMR-spektroskopische Bestimmung [12]. Versuche, die Inversionsbarriere in peralkylierten 1.4-Distanna-2.5-cyclohexadienen zu bestimmen, waren ebenfalls erfolglos [13]. Zusammen mit dem Gang der δ^{11} B-Werte stützt dies den Vorschlag, daß die Präsenz der sterisch anspruchsvollen Pr-Gruppen und des trigonalen Bor-Atoms als Ringglied für die relative hohe Aktivierungsenergie der



Schema 3. Vorschlag für den Mechanismus der bevorzugten Bildung von **9 ab** gegenüber **9 ba** (ca. 2:1).

Tab. I. ¹¹B-, ¹³C-, ²⁰⁷Pb-NMR-Daten^{a,b} für die Zwischenstufen 7.

	$7a^{c,d}$ $R^1 = R^2 = Me$, R = Et	$7b^{e}$ $R^{1} = R^{2} = Me$, $R = Pr$	$7\mathbf{c}^{d}$ $R^{T} = R^{2} = Me,$ $R = {}^{i}Pr$	$7 d^f$ $R^1 = R^2 = Me$, $R = C_5 H_{11}$	$7e$ $R^1 = Bu, R^2 = Me,$ $R = Et$	$7f$ $R^1 = Me$, $R^2 = R = Et$
Pb-C=	146,1	145,6	147,1	144,6	154,0	146,3
	[640,9]	[644,1]	[672,7]	[680,7]	[631,6]	[476,3]
B-C=	181,4	180,9	184,0	184,0	180,3	184,6
	[br, ~260]	[br, ~240]	[br]	[br, ~238]	[br]	[br]
B-C≡	108,7	109,4	107,0	106,1	109,3	109,4
	[br]	[br]	[br]	[br, ~136]	[br]	[br]
B-C≡C-	106,6	106,5	108,5	109,7	112,7	105,4
	[28,0]	[30,5]	[30,0]	[29,4]	[37,6]	[38,2]
$Pb-R^2$	19,6	19,9	18,1	18,6	20,5	34,3, 12,6
	[-60,5]	[-64,3]	[-105,7]	[-106,8]	[-81,1]	[33,8] [17,4]
$=C-R^{1}$	22,5 [307,4]	22,9 [311,1]	26,2 [316,6]	25,5 [316,1]	35,8, 35,2 ^g [276,6] [78,5]	23,2 [281,3]
$\equiv C - R^1$	4,2 [10,9]	5,4 [11,0]	4,1 [10,0]	3,9 [11,5]	20,1, 31,7 ^h [9,8] [7,3]	4,6 [10,9]
=C-R	28,4, 14,5	38,3, 23,3, 16,0	36,2, 22,1	47,9, 33,7, 27,5	29,2, 15,0	29,2, 14,6
	[262,7] [28,9]	[261,5] [27,2] [12,0]	[304,1] [20,7]	[301,9] [19,1] [9,8]	[276,8] [28,3]	[224,5] [24,5]
B-R	18,3, 13,0	30,8, 22,2, 19,3	20,5, 21,2, 22,4	36,4 ⁱ	18,7, 12,9	18,9, 13,0
	[br]	[br]	[br]	[br]	[br]	[br]
δ (11B)	- 8,6	- 9,5	- 2,6	- 4,7	- 8,2	- 8,0
$\delta(^{207}\text{Pb})$	+722,7	+728,0	+667,2	+697,5	+751,0 ^j	+688,5

^a Wenn nicht anders vermerkt, *ca.* 10−15% in C_6D_6 bei 25 °C; ^b δ-Werte gegen δ (¹³C) (C_6D_6) = 128,0, δ (¹³C), (C_2C_2) = 53,8, δ (¹³C) ($C_6D_5CD_3$) = 20,4 relativ zu Me₄Si (¹³C), Et₂O−BF₃ (extern) (¹¹B) und Me₄Pb (extern) (²⁰⁷Pb), in [] sind die Kopplungskonstanten ⁿJ(²⁰⁷Pb¹³C) angegeben und [br] kennzeichnet die breiten ¹³C-NMR-Signale Borgebundener Kohlenstoffatome; ^c in C_7D_8 bei −30 °C; ^d Ref. [7]; ^c in C_2C_2 bei −30 °C; ^f in C_2C_2 bei −50 °C; ^g weitere ¹³C-Resonanzen der =C-Butylgruppe: δ (¹³C) = 22,4, 14,2; ^h weitere ¹³C-Resonanzen der ≡C-Butylgruppe: δ (¹³C) = 21,9, 13,5; [†] weitere ¹³C-Resonanzen für die diastereotopen Kohlenstoffatome der B-Cyclopentylgruppen: δ (¹³C) = 33,9, 32,4, 28,3, 27,3; [†] in C_2C_2 bei −20 °C, δ (²⁰⁷Pb) = +761,0.

Tab. II. ¹¹B-, ¹³C- und ²⁰⁷Pb-NMR-Daten^{a,b} der Bis(alkenyl)plumbane **8, 10.**

	$8c^{c}$ $R^{1} = R^{2} = Me$ $R = {}^{i}Pr$	8 ca $R^1 = R^2 = Me$ $R = {}^{i}Pr$, Et		$ \mathbf{10^c} \\ \mathbf{R^1} = \mathbf{R^2} = \mathbf{Me} \\ \mathbf{R} = {}^{i}\mathbf{Pr} $	$4b (Sn statt Pb)^g$ $R^1 = R^2 = Me$ $R = {}^{i}Pr$
Pb-C=	141,7 [462,1]	R = Et 143,7 [450,1]	R = ^l Pr 141,2 [470,8]	144,0 [379,3]	137,3 [465,6]
B-C=	163,8 [br]	161,4 [br]	163,9 [br]	164,9 [br]	169,0 [br]
$Pb-R^2$	2,9 [119,4]	2,4 [128,6]	2,4 [128,6]	- 1,4 [d]	- 9,9 ^e [314,3]
$=C-R^1$	24,3 [126,5]	22,7 [124,3]	24,2 [126,5]	23,5 [93,7]	20,6 [53,5]
=C-R	32,0, 22,6 [136,2] [9,8]	24,1, 14,0 [129,1] [14,7]	31,9, 22,5 [138,4] [9,8]	31,1,23,0 [113,4] [10,4]	30,8, 22,7 [70,8] [7,1]
B-R	26,6, 19,8 [br]	22,1,9,2 [br]	26,5, 19,6 [br]	26,2, 20,8 [br]	25,2, 20,7 [br]
δ (11B)	+ 85,2	+ 85,0		+ 76,5	+ 72,0
$\delta(^{207}\text{Pb})$	-118,0	-121,8		-195,0	$-116,5^{f}$

a. b Vgl. Fußnoten a, b zu Tab. I; ° vgl. Ref. [7]; d breite 13 C-Resonanzen infolge gehinderter Ring-Inversion; in CD₂Cl₂ bei -20 °C werden zwei 13 C-Resonanzen gefunden: $\delta(^{13}$ C) = -0.3 [210,4], -2.1 [161,3], entsprechend der Aktivierungsenergie ΔG^* (15 °C) = 56.3 ± 1 kJ/M für die Ringinversion; e unterhalb von -30 °C wird die Aufspaltung in zwei Signale beobachtet, woraus sich die Aktivierungsenergie für die Ringinversion zu ΔG^* (-30 °C) = 53.0 ± 1 kJ/M abschätzen läßt; $^f \delta(^{19}$ Sn); g Daten teilweise aus Lit. [5].

	$9a$ $R^1 = R^2 = Me$, $R = Et$	5 (Sn statt Pb) ^h $R^{1} = R^{2} = Me,$ $R = Et$	$ \begin{array}{l} \mathbf{9b} \\ R^1 = R^2 = Me, \\ R = Pr \end{array} $	$ \begin{array}{l} \mathbf{9e} \\ R^{\dagger} = Bu, R^2 = Me, \\ R = Et \end{array} $	
Pb-C-R	87,7 [br, 86,6°]	72,0 [br, 62,1]	87,9 [br, ~90]	88,3 [br]	90,3 [br]
$Pb-C-R^{\dagger}$	80,0 [br, 90,0°]	64,7 [br, 57,2]	81,1 [br, ~84]	87,2 [br]	82,5 [br]
=C-R	145,0 [31,6]	144,4 [10,4]	143,9 [31,6]	141,9 [34,9]	145,0 [26,7]
$=C-R^1$	134,8 [38,7]	134,0 [12,0]	136,0 [38,7]	143,8 [35,4]	134,8 [32,2]
=C-R	31,3, 14,7 [101,9] [< 3]	29,4, 14,3 [64,3] [< 3]	41,7, 24,1, 15,5 [98,1] [< 3] [< 3]		31,6,14,7 [82,8] [< 3]
$=C-R^{1}$	21,9 [106,8]	18,8 [64,3]	22,3 [107,9]	37,6, 32,3 ^d [101,4] [10,9]	22,1 [88,3]
Pb-C-R	26,5 15,5 [38,1] [52,3]	23,1, 14,9 [30,0] [22,9]	37,5, 25,2, 15,8 [37,1] [51,2] [< 3]		26,7, 15,9 [32,2] [44,7]
$Pb-C-R^1$	21,3 [37,6]	18,8 [31,6]	21,9 [37,5]	36,6, 34,9° [35,4] [76,8]	21,5 [31,1]
$Pb-R^2$	5,3, 2,5 [27,8] [39,3]	-9,2, -9,7 [270,7] [243,6]	6,2, 3,9 [25,1] [32,2]	7,8, 5,0 [19,1] [26,2]	21,4, 18,3 ^f [61,0] [69,8]
B-R	14,7, 14,4, [br] 13,3, 13,3 9,3 [11,0] ^g , 9,9,9,2 [12,0]	15,4, 15,1, [br] 13,7, 13,6 8,9, 8,8 ^g , 8,0 [7,1], 7,7 [6,1]		14,7, 14,7, [br] 14,7, 14,7 10,1 [9,8] ^g 10,0 [10,9]	14,5, 14,5, [br] 14,5, 14,5 9,9, 9,5 ^g , 9,5, 8,8
δ (11B)	+ 69,0	+ 70,7	+ 69,0	+ 69,0	+ 69,0

Tab. III. ¹¹B-, ¹³C- und ²⁰⁷Pb-NMR-Daten^{a,b} der Plumbolene 9 und des Stannolens 5.

^{a, b} Vgl. Fußnoten a, b zu Tab. I; ^c in Toluol-d₈ bei -40 °C; ^d weitere ¹³C-Resonanzen der =C-Butylgruppe: $\delta(^{13}C)$ = 24,4, 14,4; ^e weitere ¹³C-Resonanzen der Pb-C-Butylgruppe: $\delta(^{13}C)$ = 24,1, 14,3 (die Zuordnung kann mit Fußnote d vertauscht sein); ^f weitere ¹³C-Resonanzen der Pb-Ethylgruppen: $\delta(^{13}C)$ = 14,0 [31,1], 13,7 [28,4]; ^g die ¹³C-NMR-Signale sind z. T. signifikant verbreitert infolge gehinderter Rotation um die R₂B-C-Bindungen (vgl. Abb. 2 und Abb. 4); ^h in CD₂Cl₂ bei -50 °C; ⁱ $\delta(^{19}\text{Sn})$.

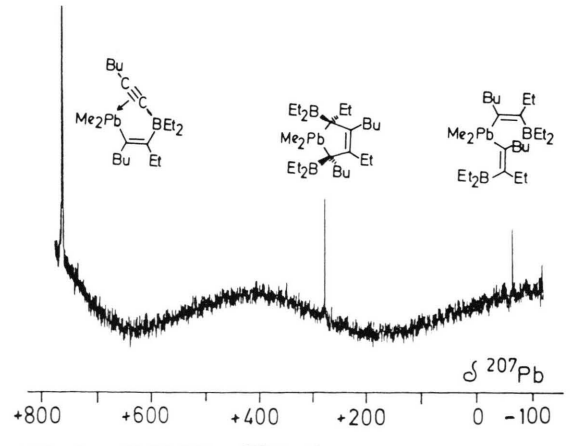


Abb. 1. 62,8 MHz ²⁰⁷Pb-{¹H}-NMR-Spektrum der Reaktionslösung aus der Umsetzung von **7d** mit **2a** in CH₂Cl₂, aufgenommen bei –30 °C nach Erwärmen (für *ca*. 2 min) auf 25 °C. Bei R.T. läßt sich das ²⁰⁷Pb-Resonanzsignal für **8d** nicht beobachten, da die Umwand-

Ringinversion ($\Delta G^* = 53.0 \pm 1 \text{ kJ/M}$ für **4b** und 56,3 kJ/M für **10**) verantwortlich sind.

Aufgrund des großen Bereichs der $\delta(^{207}\text{Pb})$ -Werte (ca. 850 ppm für die Verbindungen in dieser Arbeit) und der relativ großen Empfindlichkeit des ^{207}Pb -Kerns für das NMR-Experiment [14] leisten ^{207}Pb -NMR-Spektren von Reaktionslösungen (vgl. Abb. 1) zur Verfolgung der Reaktionen und zum Erkennen des Endpunkts sehr gute Dienste. Mit der Zuordnung der $^{1}\text{H-}$ und $^{13}\text{C-NMR-Spektren}$ unter Zuhilfenahme der Kopplungskonstanten $^{n}J(^{207}\text{Pb}^{1}\text{H})$ und $^{n}J(^{207}\text{Pb}^{13}\text{C})$ und zweidimensionaler (2D) $^{13}\text{C/}^{1}\text{H-Verschiebungskorrelationen}$ [15] (vgl. Abb. 2) wurden die Strukturvorschläge für die Verbindungen 7 bis 10 abgesichert. Die

lung in 9d zu schnell ist. Bei den analogen Reaktionen 7a + 2a, 7b + 2b konnten die vermutlichen Zwischenprodukte 8a, 8b bisher nicht nachgewiesen werden.

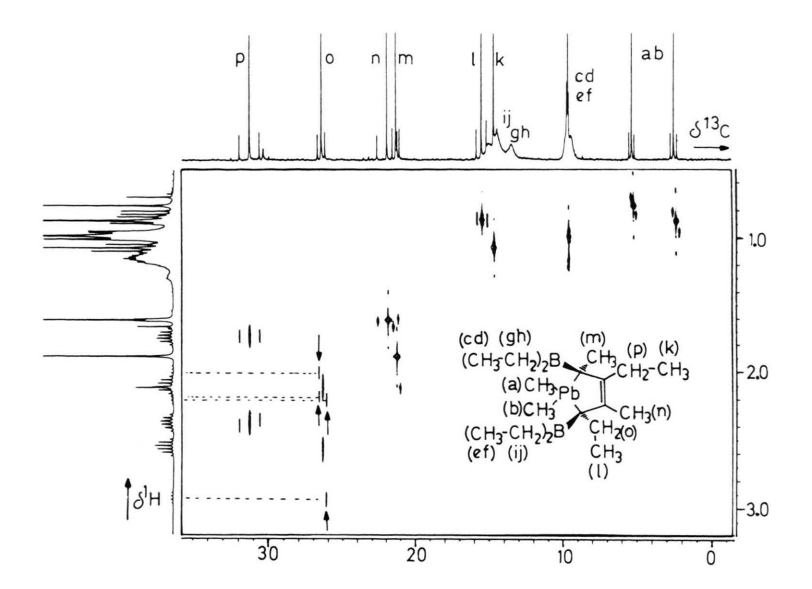


Abb. 2. 2 D-\(^{1}\text{H-Heteronukleare}\) Verschiebungskorrelation für **9a.** Wesentliche Teile des komplexen \(^{1}\text{H-NMR-Spektrums}\) lassen sich zuordnen. Über die jeweiligen \(^{207}\text{Pb-Satelliten}\) für \(^{1}\text{J}(20^{7}\text{Pb}^{1}\text{H})\) und \(^{n}\text{J}(20^{7}\text{Pb}^{13}\text{C})\) (für \(^{13}\text{C}(0)\) gestrichelt und mit Pfeilen markiert) wird die Zuordnung abgesichert. Zus\(^{207}\text{Pb-Satelliten-Signale}\) den Vergleich der Vorzeichen der Kopplungskonstanten \(^{207}\text{Pb-H})\) und \(^{207}\text{Pb-Stelliten-Signale}\) die Vorzeichen von \(^{3}\text{J}(20^{7}\text{Pb-H})\) und \(^{2}\text{J}(20^{7}\text{Pb-Stelliten-Signale}\) vorseichen von \(^{3}\text{J}(20^{7}\text{Pb-H})\) und \(^{2}\text{J}(20^{7}\text{Pb-Stelliten-Signale}\) vorschieden).

vollständige Zuordnung der ¹³C-Resonanzen für **9a** und **9b** ermöglicht die Analyse des ¹³C-NMR-Spektrums des 2:1-Gemischs von **9ab** und **9ba**. Einige relevante NMR-Daten für **9ab** und **9ba** sind nachfolgend angegeben.

Wir haben auch die Verbindung **5** (analog zu **9a**) nochmals untersucht und dabei dynamische ¹³C-NMR- (vgl. Abb. 4) und 2D-NMR-Spektroskopie (vgl. Abb. 3) eingesetzt, was in der früheren Arbeit [5] aus apparativen Gründen nicht möglich war. Die breiten ¹³C-Resonanzen für alle Kohlenstoff-Atome der Et₂B-Gruppen für **9a** (Abb. 2) zeigen an, daß dynamische Prozesse im Bereich der NMR-Zeitskala ablaufen. Für die zu **9a** analoge Verbindung **5** haben wir die Veränderungen der ¹³C-Resonanzen der Et₂B-Gruppen in Abhängigkeit von der Temperatur verfolgt (Abb. 4). Bei niedriger Temperatur werden insgesamt acht ¹³C-

Resonanzen für die Et₂B-Gruppen gefunden, so daß alle Kohlenstoff-Atome eine unterschiedliche chemische Umgebung besitzen. Da die Konfiguration der Chiralitätszentren in 5 festgelegt ist, liegt nur ein Diastereomeres vor, wie alle NMR-Daten übereinstimmend zeigen: Ein Gemisch von Diastereomeren wäre NMR-spektroskopisch leicht anhand zusätzlicher 119Sn- (für 5), 207Pb- (für 9) und der ¹H- bzw. ¹³C-Resonanzen für alle Gruppen zu erkennen. Aufgrund der verschiedenen Substitution an C(2) und C(5) sind die Et₂B-Gruppen voneinander verschieden. Die zusätzliche Aufspaltung der ¹³C-Resonanzen für jede der Et₂B-Gruppen muß daher auf die behinderte Rotation um die BC(2)- bzw. BC(5)-Bindung zurückgeführt werden. Nach unserem Wissen ist dies das erste Beispiel für den Nachweis einer Hinderung der freien Rotation um eine BC(sp³)-Bindung.

Alle chemischen Verschiebungen $\delta(^{11}\mathrm{B}), \, \delta^{13}\mathrm{C}), \, \delta(^{207}\mathrm{Pb})$ für die Blei-Derivate entsprechen den Befunden für analoge Zinn-Verbindungen [5, 6] (vgl. auch **10** und **4b** in Tab. II sowie **9a** und **5** in Tab. III). In den Zwischenstufen **7** wurde gefunden, daß die Kopplungskonstanten $^1J(^{207}\mathrm{Pb}^{13}\mathrm{C}_{\mathrm{Me}})$ ein negatives Vorzeichen besitzen. Dagegen ist die Kopplungskonstante $^1J(^{207}\mathrm{Pb}^{13}\mathrm{C}_{\mathrm{C}=})$ relativ groß (> 600 Hz für **7a** bis **7e**) und vermutlich positiv. Auch damit wird die ungewöhnliche Art der PbC-Bindungen in **7** dokumentiert. Für **7d** sind beide $^1J(^{207}\mathrm{Pb}^{13}\mathrm{C}_{\mathrm{C}=})$ -Werte gemessen worden. Die Grö-

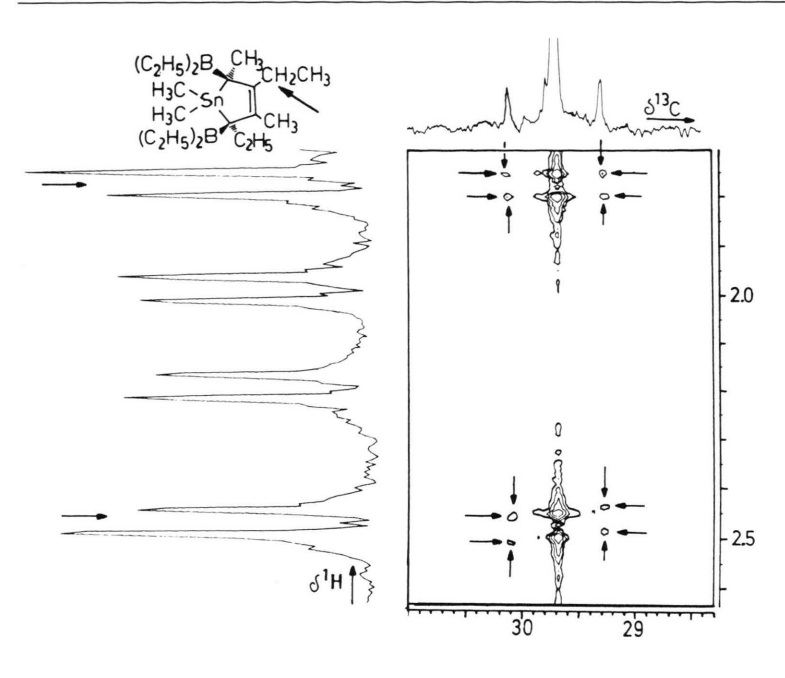
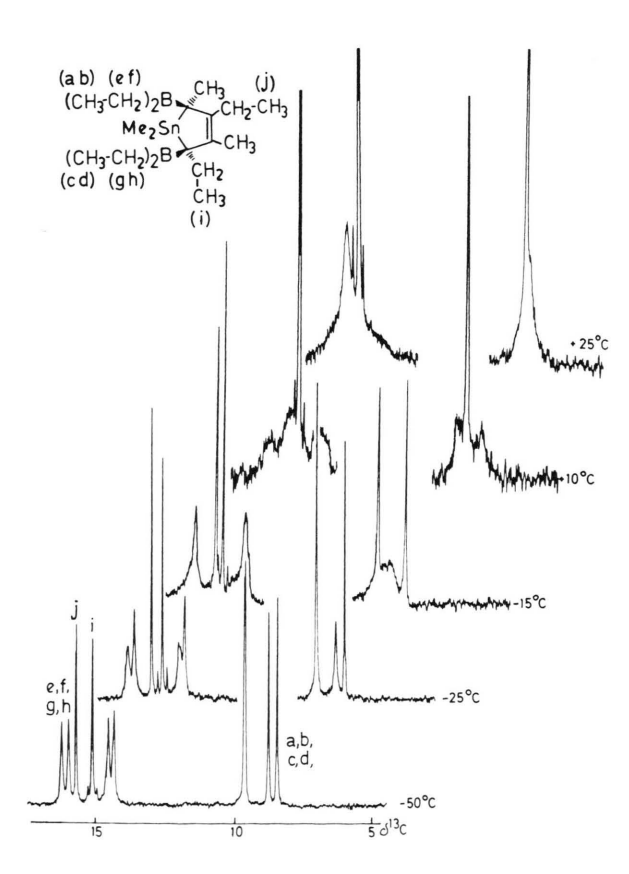


Abb. 3. Ausschnitt aus der 2D-13C/1Hheteronuklearen Verschiebungskorrelation für 5 mit gleichzeitiger homonuklearer ¹H-{¹H}-Entkopplung von allen nicht-geminalen Protonen. Diese Technik [23] erschließt eine detaillierte Information komplexer 1H-NMR-Spektren und läßt zudem (bei hinreichender digitaler Auflösung in F1) über die Beobachtung von 117/119Sn-Satellitensignalen die Bestimmung kleiner Kopplungskonstanten (z. B. ${}^{4}J({}^{119}Sn^{1}H) = 7,5 Hz$ bei $\delta(^{1}H) = 2.50 \text{ und } 1.9 \text{ Hz bei } \delta(^{1}H) =$ 1,75) zu, die ohne ¹H-{¹H}-Entkopplung nicht zuverlässig meßbar wären. Weiterhin wird über die 117/119Sn-Satellitensignale der Vergleich der Vorzeichen von Kopplungskonstanten ermöglicht (z. B. besitzen ${}^3J({}^{119}\mathrm{Sn}{}^{13}\mathrm{C})$ und ${}^4J({}^{119}\mathrm{Sn}{}^{1}\mathrm{H})$ gleiches Vorzeichen).



ße (136 bzw. 30 Hz) zeigt an, daß eine direkte Bindung der Alkinylgruppe zum Bleiatom besteht, wie es die Molekülstruktur von 7c [7] nahelegt. Die Kopplungskonstanten $^nJ(^{207}\text{Pb}^{13}\text{C})$ in 8 und 9 ähneln im Trend den vergleichbaren $^nJ(^{119}\text{Sn}^{13}\text{C})$ -Werten. In den Verbindungen 9a, b, f sind die $^1J(^{207}\text{Pb}^{13}\text{C}_{\text{Me}})$ -Werte sehr klein, besitzen jedoch noch positives Vorzeichen (vgl. Abb. 2). An anderer Stelle haben wir gezeigt, daß das Vorzeichen von $^1J(^{207}\text{Pb}^{13}\text{C}_{\text{Me}})$ leicht wechseln kann [16], im Gegensatz zu $^1J(^{119}\text{Sn}^{13}\text{C}_{\text{Me}})$. Die Fülle an Daten $^nJ(^{207}\text{Pb}^{13}\text{C})$ (n=2,3,4) in den Verbindungen 9 läßt sich erst mit einem größeren Datensatz für cyclische Organoblei-Verbindungen nutzen.

Bemerkenswert sind die Kopplungskonstanten ³ J(²⁰⁷Pb¹H), die für die diastereotopen Methylen-

Abb. 4. Ausschnitte der 75,5 MHz 13 C- 1 H}-NMR-Spektren von 5 in Abhängigkeit von der Temperatur. Aufgrund der Substituentenverteilung am Ring werden für die Et₂B-Gruppen je zwei unterschiedliche 13 C-NMR-Signale erwartet, die bei tiefer Temperatur, infolge gehinderter Rotation um die BC(2,5)-Bindungen für jede Et₂B-Gruppe in vier 13 C-Resonanzsignale übergehen. Aus den Spektren lassen sich die beiden ΔG^* Werte (bei Koaleszens) abschätzen [24]: 52,2 kJ/M (-15 °C; $\Delta v = 63,5$ Hz); 56,7 kJ/M (+10 °C; $\Delta v = 89,7$ Hz) ± 1 kJ/M.

Protonen der Pb-C-CH₂-Einheit sehr verschieden sind (*ca.* 220 Hz und 60 Hz). Im Mittel (*ca.* 140 Hz) stimmen die Werte gut mit ³J(²⁰⁷Pb¹H) für die Pb-C-Me-Gruppe überein (*ca.* 136 Hz). Wenn die bekannte Abhängigkeit der Größe von ³J vom Diederwinkel auch hier zutrifft, folgt daraus eine bevorzugte Konformation für die Pb-C-CH₂-Einheit mit einem Diederwinkel Pb-C-C-H vermutlich nahe an 180° und dem anderen um 90°.

Experimentelles

Alle Umsetzungen wurden in trockenen, N₂-gesättigten Lösungsmitteln unter N2-Atmosphäre durchgeführt. Die Alkinylplumbane [17] und Trialkylborane [18, 19] erhielten wir in Anlehnung an Literaturvorschriften. Die NMR-Spektren (vgl. Tab. I-III, Abb. 1-4) wurden mit einem Bruker AC 300 NMR-Spektrometer aufgenommen. Für ¹³C-NMR-Spektren dienten Routineeinstellungen [20]. Die longitudinale Relaxationszeit $T_1(^{207}Pb)$ wird in den untersuchten Verbindungen bei der Feldstärke $B_0 = 7,05 \text{ T}$ durch den Mechanismus der Anisotropie ($\Delta \sigma$ ca. 1000–2000 ppm [21]) der chemischen Verschiebung (T₁^{CSA}) verkürzt [14, 22]. Darum lassen sich die ²⁰⁷Pb-NMR-Spektren mit kurzer Acquisitionszeit (ca. 0,2-0,4s) und einem Pulswinkel von ca. 60° (ca. 8μ s) sehr rasch aufnehmen, um den Fortgang der Reaktionen auch in verdünnten Lösungen (vgl. Abb. 1) zu überprüfen.

Die Verbindungen **4b**, **5** [5], **7a**, **c**, **8c**, **10** [7] wurden bereits beschrieben und ein Teil der NMR-Daten wurde berichtet. Alle übrigen Produkte **7**, **8**, **9** wurden mittels ¹¹B-, ¹³C-, ²⁰⁷Pb- (vgl. Tab. I–III) und ¹H-NMR-Spektroskopie charakterisiert. Andere analytische Methoden haben sich infolge der kontinuierlichen Abscheidung von Blei (auch aus den relativ stabilen Derivaten **9**) als wenig verläßlich erwiesen. Für die Mehrzahl der NMR-spektroskopischen Untersuchungen war es notwendig, die Produkte unmittelbar nach ihrer möglichst schonend durchgeführten Synthese bei tiefer Temperatur zu vermessen.

Die Verbindungen **7b**, **d**, **e**, **f** werden analog zu **7a**, **c** [7] über die Reaktion von **1 Pb** (R² = Me, Et) mit den entsprechenden Trialkylboranen **2** im 1:1-Verhältnis in Hexan, Toluol oder Methylenchlorid bei –78 bis –30 °C erhalten. Analog zu **8c** [7] wird **8ca** quantitativ gewonnen, wenn man zunächst **7c** isoliert und dieses dann mit einem Äquivalent Triethylboran (**2a**) 24 h bei 0 °C in Hexan reagie-

ren läßt. – ¹H-NMR (300 MHz) von **8ca** in C_6D_6 : $\delta(^1H)[J(^{207}Pb^1H)] = 0,71 [47,0]$ s, 6H, PbMe; 2,18 [96,2] s, 3H, 2,24 [102,9] s, 3H, =C-Me; 2,13 q, 2H, 0,92 t, 3H, =C-Et; 2,64 sept, 1H, 1,08 d, 6H, =C- 1 Pr; 1,4-1,5 m, 4H, 1,06 t, 6H, B-Et; 1,3 m, 2H, 1,12 d, 12H, B- 1 Pr.

3,5-Diethyl-1,1,2,4-tetramethyl-2,5-bis-(diethylboryl)-3-plumbolen (**9 a**)

Eine Lösung von 1,29 g (4,1 mmol) **1 Pb** ($R^2 =$ Me) in 15 ml Hexan wird auf -78 °C gekühlt, wobei eine Suspension entsteht. Nach Zugabe von 0,81 g (8,3 mmol) Triethylboran (2a) läßt man unter Rühren auf R.T. erwärmen. Dabei nimmt die Reaktionslösung eine dunkle, grünliche Farbe an. Hexan und überschüssiges 2a werden im Vakuum entfernt. Der grünliche ölige Rückstand besteht zu > 98 % aus **9a** (1 H-, 13 C-, 207 Pb-NMR). Bei Lagerung (auch bei -20 °C) scheidet sich allmählich Blei ab. – ¹H-NMR (300 MHz) von $\mathbf{9a}$ in C_6D_6 $(25 \,^{\circ}\text{C}) = 0.77 \, [37.3] \, \text{s}, 3 \, \text{H}, 0.88 \, [44.0] \, \text{s}, 3 \, \text{H},$ PbMe₂; 1,0-1,2, 0,95 m, 20 H, BEt₂; 1,90 [135,7] s, 3H, Pb-C-Me; 2,38 [12,0] d, q, 1,74 [< 1] d, q, 2H, 1,07 [4,1] t, 3H, =C-Et; 1,62 [5,1] s, 3H, =C-Me; 2,55 [221,1] d, q, 2,10 [60,8] d, q, 2H, 0,87 [3,6] t, 3 H, Pb-C-Et.

Analog gewinnt man 9b, e, f. - 1H-NMR (300 MHz): **9b** (in CD₂Cl₂ bei -40 °C; sicher zugeordnete Signale): $\delta({}^{1}H)[{}^{n}J({}^{207}Pb^{1}H)] = 0.92[37,1]s$, 3H, 0,98 [44,0] s, 3H, PbMe₂; 1,98 [136,8] s, 3H, Pb-C-Me; 1,70 [5,1] s, 3H, =C-Me. - 9e (in C_6D_6 ; aus $2D^{-13}C/^1H$ -Verschiebungskorrelation ¹H-Entkopplung [23]): homonuklearer $\delta({}^{1}H)[{}^{n}J({}^{207}Pb{}^{1}H)] = 0.83[35,6] s, 3H, 0.94[41,8] s,$ 3H, PbMe₂; 1,22 m, 1,03 m, 20 H, BEt₂; 2,57 [188,0] m, 2,15 [52,0] m, 1,00 [3,0] t, 5H, Pb-C-Et; 2,44 m, 2,09 m, 1,42 [10,0] m, 1,30 m, 0,92 t, 9H, Pb-C-Bu; 2,18 m, 1,11, 5H, =C-Et; 2,12 [3,0] m, 1,48 m, 1,30 m, 0,92 t, 9 H, =C-Bu. - 9f (in C₆D₆; sicher zugeordnete Signale): 1,97 [117,8] s, 3H, Pb-C-Me; 1,62 [< 5] s, 3H, =C-Me; 2,60 [194,4] m, 1H, 2,19 [52,0] m, 1H, Pb-C-CH₂; 2,39 m, 1 H, 1,76 m, 1 H, = C-CH₂. Die 2:1-Mischung von 9ab/9ba wird bei gleicher Aufarbeitung aus der Reaktion von isoliertem 7b mit Triethylboran (2a) erhalten.

Wir danken der Deutschen Forschungsgemeinschaft und dem Fonds der Chemischen Industrie für die Unterstützung dieser Arbeit. Herrn Prof. Dr. R. Köster danken wir für die großzügige Überlassung von Triethylboran.

pur (1987).

- [1] a) J. F. Normant und A. Alexakis, Synthesis 1981, 841:
 - b) E. Negishi, Acc. Chem. Res. 20, 65 (1987).
- [2] a) B. Wrackmeyer, Revs. Silicon, Germanium, Tin and Lead Compds. 6, 75 (1982);
 b) B. Wrackmeyer, in S. Hermanek (Herausg.): Boron Chemistry, S. 387–415, World Scientific, Singa-
- [3] B. Wrackmeyer, J. Chem. Soc. Chem. Commun. **1988**, 1624.
- [4] R. Köster, G. Seidel und B. Wrackmeyer, Chem. Ber. 122, 1825 (1989).
- [5] L. Killian und B. Wrackmeyer, J. Organomet. Chem. 153, 153 (1978).
- [6] S. Kerschl und B. Wrackmeyer, Z. Naturforsch. 39b, 1037 (1984).
- [7] B. Wrackmeyer, K. Horchler und R. Boese, Angew. Chem. 101, 1563 (1989); Angew. Chem., Int. Ed. Engl. 28, 1500 (1989).
- [8] R. Köster, Pure Appl. Chem. 49, 765 (1977).
- [9] a) A. Suzuki, Acc. Chem. Res. 15, 178 (1982);
 b) A. Pelter, Chem. Soc. Rev. 11, 191 (1982);
 c) A. Pelter, K. Smith und H. C. Brown, Borane Reagents, Academic Press, London (1988).
- [10] B. Wrackmeyer und K. Horchler, Organometallics **9** (1990), im Druck.
- [11] a) H. Nöth und B. Wrackmeyer, Nuclear Magnetic Resonance Spectroscopy of Boron Compounds, in P. Diehl, E. Fluck und R. Kosfeld (Herausg.): NMR-Basic Principles and Progress, Vol. 14, Springer Verlag, Berlin (1978);
 - b) B. Wrackmeyer und R. Köster, Analytik der Organobor-Verbindungen in R. Köster (Herausg.): Methoden der Organischen Chemie (Houben-Weyl-Müller), 4. Aufl., Bd. XIII/3c, S. 377-611, Thieme Verlag, Stuttgart (1984);

- c) B. Wrackmeyer, Annual Rep. NMR Spectrosc. **20,** 61 (1988).
- [12] H.-O. Berger, H. Nöth und B. Wrackmeyer, Chem. Ber. 112, 2866 (1978).
- [13] S. Kerschl und B. Wrackmeyer, J. Chem. Soc. Chem. Commun. 1986, 1170.
- [14] B. Wrackmeyer und K. Horchler, Annual Rep. NMR Spectrosc. 22, 249 (1990).
- [15] a) W. S. Brey (Herausg.), Pulse Methods in 1 D and 2D Liquid Phase NMR, Academic Press, New York (1988);
 - b) W. R. Croasman und R. M. K. Carlson, Two-Dimensional NMR Spectroscopy, VCH Publishers, Weinheim (1987).
- [16] B. Wrackmeyer und K. Horchler, Magn. Reson. Chem. 28, 56 (1990).
- [17] W. E. Davidsohn und M. C. Henry, Chem. Rev. 67, 73 (1967).
- [18] R. Köster, P. Binger und W. V. Dahlhoff, Synth. React. Inorg. Metal-Org. Chem. 3, 359 (1973).
- [19] E. Krause und P. Nobbe, Chem. Ber. 64, 2112 (1931).
- [20] H.-O. Kalinowski, S. Berger und S. Braun, ¹³C-NMR-Spektroskopie, Thieme Verlag, Stuttgart (1984).
- [21] B. Wrackmeyer, K. Horchler, A. Sebald und L. H. Merwin, Magn. Reson. Chem. 28 (1990), im Druck.
- [22] G. R. Hays, D. G. Gillies, L. P. Blaauw und A. D. H. Clague, J. Magn. Reson. 45, 102 (1981).
- [23] a) A. Bax, Two-Dimensional Nuclear Magnetic Resonance in Liquids, Delft University Press, D. Reidel Publishing Company, S. 50-97, Delft (1982);
 b) T. C. Wong, J. Magn. Reson. 63, 179 (1985).
- [24] J. Sandström, Dynamic NMR Spectroscopy, S. 96, Academic Press, New York (1982).